

УДК 631.362.001.573

Ю.И.ЕРМОЛЬЕВ, А.И.МАРТЫНЕНКО, А.В.БУТОВЧЕНКО

## МОДЕЛИРОВАНИЕ ПРОЦЕССА СЕПАРАЦИИ ЗЕРНА В ВОЗДУШНО-РЕШЁТНОЙ ЗЕРНООЧИСТИТЕЛЬНОЙ МАШИНЕ

*Построена адекватная математическая модель процесса функционирования воздушно-решётной зерноочистительной машины с многоярусными решётными модулями.*

**Ключевые слова:** воздушно-решётная зерноочистительная машина, процесс сепарации, математическая модель.

**Введение.** Тенденция минимизации затрат на семенную очистку зерна и снижение при этом количества транспортных операций определила необходимость создания воздушно-решётных зерноочистительных машин с решётными модулями, обеспечивающими сепарацию зерна на двух последовательных модулях. Такая структура воздушно-решётных машин требует развития методологии моделирования процессов сепарации зерна в этих машинах для возможной реализации их структурно-параметрического синтеза.

**Теоретическое обоснование.** Математическую модель процесса сепарации зернового материала (ЗМ) воздушно-решётной зерноочистительной машины типа МВУ-1500 (ВРМ) (рис.1, 2) как замкнутой квазистатичной системы с заданной  $\kappa_{\delta M}$ -й функциональной схемой, в общем виде можно записать:

$$E_{\phi} = \{ F_{ВРМ}, A_{ВРМ}, G_{\delta} [k_{\delta M}(x, \delta_M)] \} \rightarrow \max \text{ (функция цели);} \quad (1)$$

$$\vec{A}_M, \vec{A}_M, \vec{F}, \vec{F}, x, G_M(x, u); \quad (2)$$

$$v_j, v_j, \delta_3, [\delta_3]. \quad (3)$$

Здесь  $\vec{F} = \vec{F}_{ВРМ}$  - вектор входных воздействий на принятую в ВРМ систему операций (см. рис.1, 2), где  $Q$  - подача ЗМ в ВРМ;  $a_j, W$  - содержание в исходном ЗМ  $j$ -х компонентов, их влажность;  $M(b_j)$  - математические ожидания размеров признаков разделения  $j$ -х компонентов;  $f_Q(B)$  - плотность вероятности распределения подачи  $Q$  ЗМ по ширине  $B$  рабочих органов зерноочистительных машин;  $\vec{A}_i$  - векторы управляющих факторов элементов ВРМ, обеспечивающих ее функционирование ( $\vec{A}_{ПС1}$  и  $\vec{A}_{ПС2}$  - 1-го и 2-го пневмосепаратора;  $\vec{A}_{РМП}$  и  $\vec{A}_{РМВ}$  - 1-го и 2-го решётного модуля) (см. рис.1), где  $B_{П}, S_{П}$  - ширина и глубина пневмосепаратора ВРМ;  $V_e$  - рабочая скорость воздушного потока; плотность вероятностей распределения подачи  $f_Q(B_{П})$  ЗМ и воздушного потока  $f_v(B_{П})$  по ширине  $B_{П}$  пневмосепаратора;  $T_i, l_i, B_i, C$  - тип, длина, ширина  $i$ -го решета и количество решет в решётных модулях;  $b_{0i}$  - рабочий размер отверстий в  $i$ -м решете;  $\alpha, \beta, R, n$  - угол наклона решет, направленность их колебаний, амплитуда и частоты их колебаний;  $k_p(x)$  - схема расположения решет в решётных модулях;

$K_{\delta M}(x)$  - функциональная схема и параметры ВРМ.

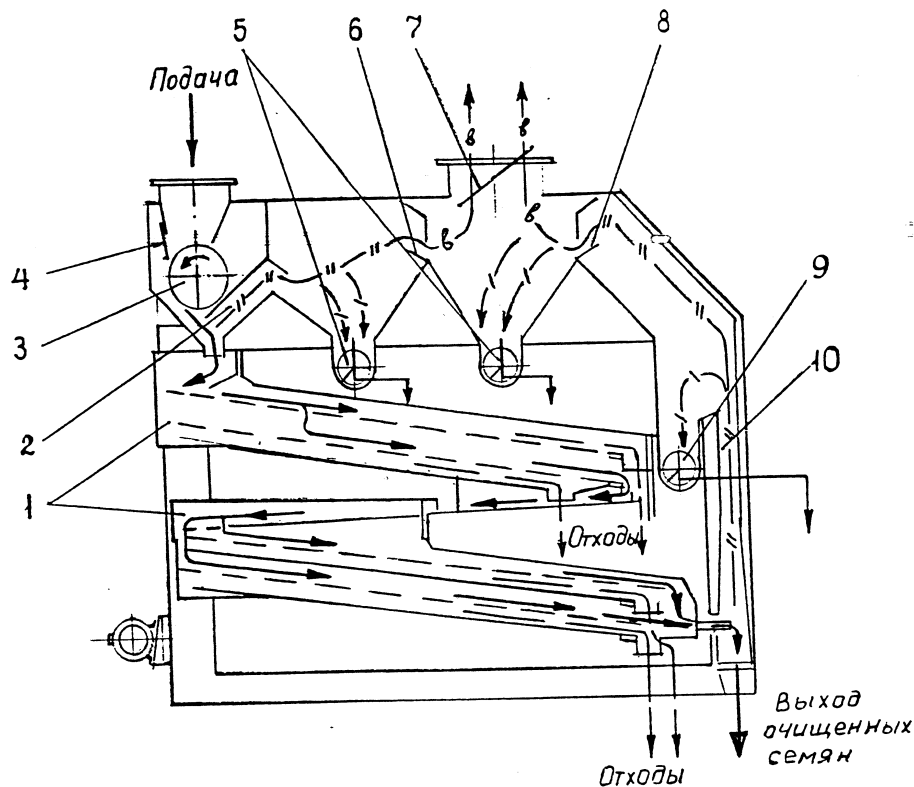


Рис.1. Функциональная схема воздушно-решетной зерноочистительной машины: 1 – решетные станы; 2 – пневмоканал предварительной аспирации; 3 – валик питающий; 4 – шибер; 5 – шнеки отвода легких воздушных примесей; 6 – заслонка тонкой регулировки пневмоканала предварительной аспирации; 7 – заслонка грубой регулировки подачи воздуха; 8 – заслонка тонкой регулировки пневмоканала окончательной аспирации; 9 – шнек вывода тяжелых воздушных примесей (легкое зерно); 10 – пневмоканал окончательной аспирации;

поток обрабатываемой культуры;  
воздушный поток с легкими примесями;  
примеси, осаждаемые в камере;  
воздушный поток с пылью;  
отходы решетной очистки

Здесь  $x$  - набор технологических операций из  $G_M(x, u)$  множества, реализуемых в  $K_{\delta M}$  функциональной схеме ВРМ (см. рис.1);  $G_{\delta M}(x, u)$  - математическая модель, определяющая показатели технологического процесса в ВРМ, для принятой  $K_{\delta M}(x)$ -й ее схемы.

Выходные показатели функционирования ВРМ определяются вектором  $\vec{B}_{ВРМ}$ , независимые аргументы которого случайные в вероятностно-статистическом смысле величины (см. рис.2), где  $E_{\phi}$  - критерий эффективности реализации технологического процесса ВРМ;  $\varepsilon_{\phi j}$  - полнота выделения из ЗМ в очищенную фракцию отделяемых  $j$ -х компонентов  $\varepsilon_{\phi j} \in [0, 1]$ ,  $\varepsilon_{\phi j}$  - содержание в очищенных семенах  $j$ -х компонентов, зерновых и сорных

примесей;  $\delta_c$  - потери семян на  $x_i$  операциях;  $Q_{oc}, Q_{пс}, Q_c, Q_{ок}$  - массы выхода очищенных семян, отходов из пневмоканалов и отходов сорных и разных категорий.

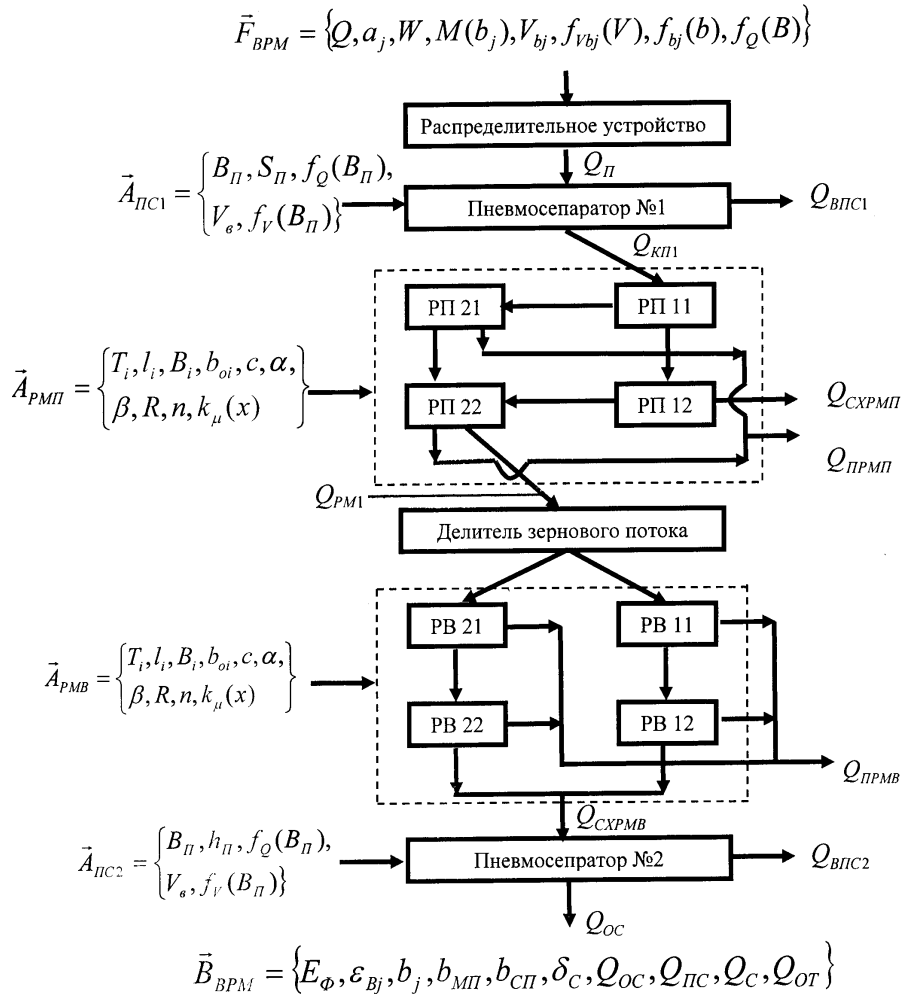


Рис.2. Структурная схема воздушно-решетной зерноочистительной машины

Обоснуем математическую модель  $G_\delta K_{\delta M}(X), T_\delta(X)$  ВРМ. В соответствии с функциональной схемой рассматриваемая (см. рис.1, 2) ВРМ содержит два пневмосепаратора (№1 и №2) и два решетных модуля с известными функциональными связями между частными технологическими операциями. Для этих условий полнота выхода  $\varepsilon_{Bj}$   $j$ -го компонента исходного ЗМ в очищенную в ВРМ фракцию семян:

$$\varepsilon_{Bj} = \sum_{i=1}^5 \varepsilon_{bji}, \quad (4)$$

где  $\varepsilon_{bji}$  - полнота выхода  $j$ -го компонента с  $i$ -го ( $i = 1, 2, 3, 4$ ) рабочего органа на  $(i + 1)$  рабочий орган ВРМ и с 5-го ( $i = 5$ ) рабочего органа в очи-

ценные ВРМ семена ( $i = 1$  - операция распределения ЗМ семян по ширине пневмосепаратора №1;  $i = 2$  - операция пневмосепарации в пневмосепараторе №1;  $i = 3$  - операции в первом решетном модуле;  $i = 4$  - операции во втором решетном модуле;  $i = 5$  - операция в пневмосепараторе №2).

Полнота выхода  $\varepsilon_{bOTj}$  в отходы  $j$ -го компонента ЗМ в ВРМ:

$$\varepsilon_{bOTj} = \sum_{M=1}^2 \frac{Q_{bOTji}}{Q} \frac{b_{bOTji}}{a_j}, \quad (5)$$

где  $Q_{bOTji}$  - количество  $j$ -го компонента ЗМ, выделенного  $i$ -м рабочим органом ВРМ в отходы;  $b_{bOTji}$  - содержание  $j$ -го компонента в отходах  $i$ -го рабочего органа ВРМ.

Для операции распределения ЗМ по ширине пневмосепаратора очевидно, что  $\varepsilon_{bj(2)} = 1$ . Воздействие этой операции на последующую определится плотностью вероятности  $f_Q(B_{\Pi})$  распределения подачи  $Q$  ЗМ по ширине  $B_{\Pi}$  пневмосепаратора №1.

Рассмотрим процесс пневмосепарации ЗМ в пневмосепараторе №1 (ПС1) шириной  $B$  и глубиной  $S$  (рис.3) с подачей  $Q$  в него гетерогенной сыпучей среды с известной или задаваемой плотностью вероятностей  $f_B(\cdot)$  распределения этой подачи по ширине бокового ввода в ПС1 и плотностью вероятности  $f_B(\cdot)$  распределения средних по сечению пневмоканала скоростей воздушного потока.

Для этих условий полнота прохода  $j$ -го компонента ЗМ в очищенную на этой частной операции фракцию [1]:

$$\varepsilon_{Cj} = \frac{Q_p \varepsilon_{pj} (Q_p V_p)}{B Q K} m_{jB} m_{jw}', \quad (6)$$

где  $K = B/e$ ;  $Q_p$  - количество ЗМ, попадающего на каждый  $p$ -й участок ( $p=1,2,\dots,e$ )  $k$ -й ширины  $B$  рабочего органа:

$$Q_p = \frac{B Q_0}{K} \frac{\int_p f_Q(B) dB}{\int_{p=1}^{p=e} f_Q(B) dB}, \quad (7)$$

а средняя скорость воздушного потока на  $p$ -м участке:

$$V_p = \frac{B \cdot V}{K} \cdot \frac{\int_p f_v(B) dB}{\int_{p=1}^{p=e} f_v(B) dB}; \quad (8)$$

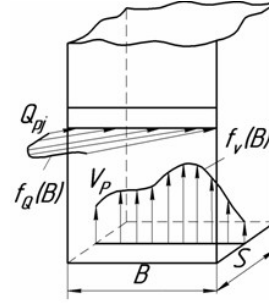


Рис.3. Схема пневмоканала

$\varepsilon_{pj}(Q_P V_p)$  - полнота выхода в очищенную фракцию после пневмосепаратора №1 j-го компонента ЗМ с p-го участка ширины пневмосепаратора ( $p=1,2,\dots,e$ ), определится из известных выражений [1] при  $Q=Q_P$  и  $V=V_P$ .

Содержание сорных ( $j=1,2,\dots,c$ ) примесей  $b_{cП}$  в очищенных пневмосепаратором №1 семенах, содержащих  $j \in 1,2,\dots,c$  компонентов:

$$b_{cП} = \frac{a_j \varepsilon_{cj}}{\sum_{j=1}^b a_j \varepsilon_{cj}}, \quad (9)$$

полнота выделения пневмосепаратором №1 в отходы сорных ( $j=1,2,\dots,c$ ) примесей:

$$\varepsilon_{bcП} = \frac{a_j(1-\varepsilon_{cj})}{\sum_{j=1}^c a_j}, \quad (10)$$

содержание j-х компонентов в очищенной пневмосепаратором №1 фракции:

$$b_{jП} = \frac{a_j \varepsilon_{cj}}{\sum_{j=1}^b a_j \varepsilon_{cj}}, \quad (11)$$

Полнота выделения j-го компонента из ЗМ в пневмосепараторе №1

$$\varepsilon_{bjП} = (1 - \varepsilon_{cj}), \quad (12)$$

содержание j-го компонента  $b_{joП}$  ЗМ в легких отходах:

$$b_{joП} = a_j(1 - \varepsilon_{cj}) / \left( \sum_{j=1}^b a_j(1 - \varepsilon_{cj}) \right), \quad (13)$$

масса  $Q_o$  выделенных отходов кг/(м·с):

$$Q_{oП} = \sum_{j=1}^b Q a_j(1 - \varepsilon_{cj}), \quad (14)$$

масса очищенных в пневмосепараторе №1 зерна

$$Q_{кП1} = Q - Q_{oП}, \text{ кг/(м·с)}. \quad (15)$$

Входное воздействие на рассматриваемый решетный модуль №1 (рис.2) выражается вектором  $\vec{F}_p$ , независимые аргументы которого случайные, в вероятностно-статистическом смысле величины:

$$\vec{F}_p = Q_{pm}, a_{pj}, W, M(b_j), \sigma^2(b_j), f_Q(B_i), f_Q(H), f(l_i). \quad (16)$$

Активные средства, определяющие эффективность функционирования решетного модуля, определялись вектором  $\vec{A}_{pМП1}$  (см. рис.2), где  $Q_{pm}, a_{pj}, W$  - подача ЗМ  $Q_{pm}=Q_{кП1}$  из выражения (15), содержание в нем j-х компонентов, его влажность  $W$ ;  $M(b_j), \sigma^2(b_j)$  - статистические характеристики размера признака разделения j-го компонента;  $f_Q(B_i)$  - плотность вероятности распределения j-го компонента по ширине  $B_i$  i-го решета яруса в решетном модуле;  $f(l_i)$  - закономерность поступления ЗМ на решета.

Рассмотрим решетные модули в ВРМ (см. рис.2) включающие классический двухъярусный модуль (решета РП11, РП12, РП21, РП22) и два па-

параллельно функционирующих двухрешетных яруса (решета РВ11, РВ12; РВ21, РВ22).

Для классического двухъярусного решетного модуля полнота выхода  $j$ -го компонента ЗМ  $\varepsilon_{bjp}$ , в очищенную фракцию на  $P$ -м участке ширины решет в решетном модуле, определится из известного выражения [1]:

$$\varepsilon_{bjp} = (1 - \varepsilon_{22jp}) \varepsilon_{11jp} (1 - \varepsilon_{21jp}) + \varepsilon_{12jp} (1 - \varepsilon_{11jp}), \quad (17)$$

где  $\varepsilon_{11jp}, \varepsilon_{12jp}, \varepsilon_{21jp}, \varepsilon_{22jp}$  - полнота просеивания  $j$ -го компонента через  $P$ -й участок ширины  $B_p$  решет (рис.4) с соответствующим номером решета (см. рис.2).

При известной или задаваемой плотности  $f_Q(B)$  (рис.4) распределения вероятности подачи  $Q_{кп1}$  ЗМ (поступающего после пневмосепаратора №1 на первый решетный модуль) по ширине  $B$  решет в модуле, приняв известную гипотезу [1], аддитивную по всей ширине решетного модуля полнота выхода  $j$ -го компонента ЗМ в очищенную фракцию  $i$ -го решетного модуля ( $i = 1$ ) можно определить по известным [2] выражениям:

$$\varepsilon_{aji} = \frac{Q_{pi} a_{ji} \varepsilon_{bjp} \left( \frac{Q_i}{Q} \right)^e}{Q_i a_{ji} e}, \quad (18)$$

где  $Q_{pi}$  - подача ЗМ на  $P$ -й участок ширины  $i$ -е решетного модуля ( $i = 1$ );  $a_{ji}$  - содержание  $j$ -го компонента в ЗМ, поступающего на  $i$ -й решетный модуль;  $Q_i$  - суммарная подача ЗМ на  $i$ -й (первый) решетный модуль.

Очевидно, что  $Q_i$  и  $a_{ji}$  соответствуют этим показателям в ворохе, очищенном в пневмосепараторе №1:

$$Q_{ik\pi} Q_{юп} Q; \quad a_{ji} = b_{jп}, \quad (19)$$

где  $Q_{оп}$  - из выражения (13);  $b_{jп}$  - из выражения (11); величину  $Q_{pi}$  определяем из выражения, аналогичного (7):

$$Q_{pi} = \frac{B_o Q_i}{K} \frac{\int_{e=1}^p f_Q(B) dB}{\int_{e=1}^p f_Q(B) dB}. \quad (20)$$

Общий выход  $Q_{b1}$ , очищенной на первом решетном модуле фракции семян и содержание в ней  $j$ -х компонентов  $b_{bj1}$ , определяем из выражений:

$$Q_{b1} = \sum_{j=1}^b Q_i a_{ji} \varepsilon_{bj1}; \quad (21)$$

$$b_{bj1} = Q_i a_{ji} \varepsilon_{bj1} / Q_{b1}. \quad (22)$$

Общее выделение примесей  $Q_{п1}$  из ЗМ на 1-м решетном модуле и содержание в них  $j$ -го компонента  $b_{пj1}$  определяем из выражений:

$$Q_{П1} = \prod_{j=1}^b Q_i a_{ji} (1 - \varepsilon_{bji}); \quad (23)$$

$$b_{П1} = Q_i a_{ji} (1 - \varepsilon_{bji}) / Q_{П1}. \quad (24)$$

Рассмотрим в общем случае второй 2-ярусный решетный модуль (рис.2, рис.5) с неоднородными по длине ( $l_{11}, \dots, l_{1n}$ ) и высоте ( $\delta=1, 2, \dots$ ) решетками: 1-й ярус – решетка P11 и P12, 2-й ярус – P21 и P22 (рис.5). В общем виде на два яруса решет поступает  $q_{1j}, q_{2j}$  количество  $j$ -го компонента ЗМ с их торцев, определяемое плотностью вероятности распределения  $f_Q(H)$  случайной величины  $Q = Q_{b1}$ .

Распределения случайной величины  $q_\delta$  по ширине  $B_p$  сепараторов в ярусах определится плотностью вероятности  $f_Q(B)$ .

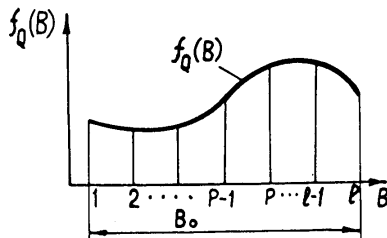


Рис.4. Плотность распределения вероятности  $f_Q(B)$  непрерывной случайной величины  $Q$  по ширине  $B_o$  решетных сепараторов

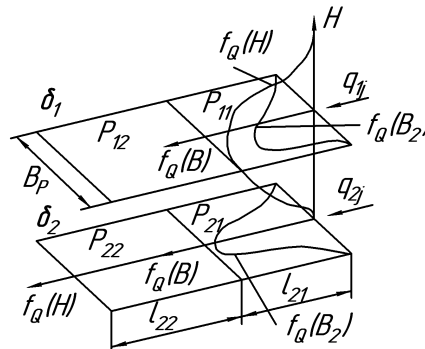


Рис.5. Схема решетного модуля

Приняв известную гипотезу об аддитивности процесса сепарации сыпучего материала на  $P$ -х участках решетных ярусов, полноту просеивания  $j$ -го компонента ЗМ на  $\delta$ -м решетном ярусе определяем известным выражением [2].

При известных  $f_Q(H)$  и  $f_Q(B)$

$$\varepsilon_{\delta j} = \frac{\prod_{r=1}^r \frac{\int_0^r f_Q(H) dH}{\int_0^c f_Q(H) dH} \prod_{p=1}^p \frac{\int_0^p f_Q(B) dB}{\int_0^{B_o} f_Q(B) dB} a_{j\delta} \varepsilon_{\delta jp} (q_{\delta p})}{Q_i a_{ji}}, \quad (25)$$

где  $\varepsilon_{\delta jp} = \varepsilon_{\delta 1j} + (1 - \varepsilon_{\delta 1j}) \varepsilon_{\delta 2j}$ ;  $r$  – количество участков по высоте  $H$  плотности вероятности распределения подачи  $Q$  ЗМ на два яруса решет ( $r = 1, 2, \dots, c$ ). При этом подача  $q_\delta$  ЗМ на  $\delta$ -й решетный ярус

$$q_\delta = Q P_\delta(Q), \quad (26)$$

где  $P_\delta(Q)$  – вероятность подачи ЗМ  $Q$  на  $\delta$ -й решетный ярус;  $\varepsilon_{\delta j}, q_{\delta p}$  – полнота просеивания  $j$ -го компонента на  $P$ -м участке  $\delta$ -го решет-

ного яруса при подаче  $q_{\delta p}$  сыпучего материала на этот участок, которую можно определить из различных выражений [2] в зависимости от многих факторов:

$$\varepsilon_{\delta j}(q_{\delta p}) = f(Q, a_j, W, \gamma, f_j, L_{\delta m}, d_m, \alpha_m, \beta_m, R_m, N_m, n), \quad (27)$$

где  $f_j, \gamma$  - вид сыпучего материала (зерно, семена трав и др.) и его плотность;  $L_{\delta m}$  - длина  $m$ -го решета  $\delta$ -го решетного яруса;  $d_m$  - рабочий размер отверстий  $m$ -го решета  $\delta$ -го яруса;  $\alpha_m, \beta_m, R_m, N_m$  - угол наклона к горизонту, направленность, амплитуда и частота колебаний  $m$ -го решета в  $\delta$ -м ярусе;  $n$  - количество решет в ярусе.

При известной полноте просеивания  $\varepsilon_{\delta j}$   $j$ -го компонента на отдельном ярусе решет ( $\delta = 1, 2$ ), полнота просеивания  $j$ -го компонента на двух ярусах решетного модуля определится из выражения, аналогичного (18)

$$\varepsilon_j = \frac{q_{\delta}^{a_{\delta j}} \varepsilon_{\delta j}}{Q a_j 2}, \quad (28)$$

где  $a_{\delta j}$  - содержание  $j$ -го компонента в ЗМ, поступающем на  $\delta$ -й решетный ярус.

Полнота схода  $\varepsilon_{CX\delta mj}$   $j$ -го компонента с  $\delta m$ -го решета в очищенную  $\delta$ -м решетным ярусом фракцию (с первого яруса – с решета:  $\delta = 1, m = 2$ , решета Р12; со 2-го яруса:  $\delta = 2, m = 2$ , решета РВ22):

$$\varepsilon_{CX\delta mj} = \frac{q_{\delta mp}^{a_{jCX}} \varepsilon_{CXmj}}{q_{\delta m} a_j e}, \quad (29)$$

а со всех  $m$ -х решет двухъярусного решетного модуля

$$\varepsilon_{CXmj} = \sum_{\delta=1}^2 P_{\delta}(Q) \varepsilon_{CX\delta mj}. \quad (30)$$

Общий выход  $Q_{b2}$ , очищенной на втором решетном модуле из двух ярусов решет фракции семян и содержание в ней  $j$ -го компонента  $b_{bj2}$ , определится из выражений, аналогичных (21) и (22):

$$Q_{b2} = \sum_{j=1}^b Q_{b1} b_{bj} \varepsilon_{CXmj}; \quad (31)$$

$$b_{bj2} = Q_{b1} b_{bj} \varepsilon_{CXmj} / Q_2. \quad (32)$$

Общее выделение примесей  $Q_{П2}$  из ЗМ, поступившего на второй двухъярусный решетный модуль и содержание в них  $j$ -го компонента  $b_{Пj2}$ , определяется из выражений

$$Q_{П2} = \sum_{j=1}^b Q_{b1} b_{bj1} (1 - \varepsilon_{CXmj}), \quad (33)$$



$$b_{П2} = Q_{b1} b_{bj1} (1 - \varepsilon_{CXmj}) / Q_{П2}. \quad (34)$$

Математическая модель процесса пневмосепарации фракции семян ЗМ, очищенного во втором решетном модуле, в пневмосепараторе №2 (см. рис.1, рис.2), идентична по форме математической модели сепарации ЗМ в пневмосепараторе №1 (см. (6)-(15)). При этом в эти выражения вводим

$$Q = Q_{b2}; \quad a_j = b_{bj2}, \quad (35)$$

выражения плотности вероятности распределения подачи ЗМ  $f_Q(B)$  и скорости воздушного потока  $f_v(B)$  по ширине  $B$  соответственно для пневмосепаратора №2.

Тогда с учетом этих изменений полноту выхода  $\varepsilon_{cj}$   $j$ -х компонентов в очищенную фракцию семян определяем из выражения (6), выход очищенных в ВРМ семян  $Q_{oc}$  и содержание в них  $j$ -х компонентов ЗМ – из выражений (15) и (11), выход выделенных отходов  $Q_{от}$  и содержание в них  $j$ -х компонентов ЗМ – из выражений (14) и (13).

Используя выражение (4), можно оценить величину полноты выхода  $\varepsilon_{bj}$   $j$ -го компонента исходного ЗМ в очищенную всей ВРМ фракцию. Здесь  $\varepsilon_{bj}$  определяем соответственно по формулам: для операции – распределение ЗМ по ширине сепараторов  $\varepsilon_{bj} = 1$ ; для операции пневмосепарации в пневмосепараторе №1  $\varepsilon_{bj} = \varepsilon_{cj}$  – по выражению (6), для первого решетного модуля  $\varepsilon_{bj} = \varepsilon_{bji}$  – по выражению (18); для второго решетного модуля  $\varepsilon_{bj} = \varepsilon_{bj\bar{CXmj}}$  – по выражению (30); для пневмосепаратора №2  $\varepsilon_{bj} = \varepsilon_{cj}$  – по выражению (6).

**Выводы.** Построена функциональная математическая модель воздушно-решетной зерноочистительной машины с последовательным расположением решётных модулей. При заданных аргументах входных  $\vec{F}_i$  и управляющих  $\vec{A}_i$  воздействий, используя методы нелинейного программирования, можно проводить многомерный анализ и параметрическую оптимизацию семяочистительных машин с рассмотренной структурой элементов.

#### Библиографический список

1. Ермольев Ю.И. Тенденции и перспективы развития технологий и технических средств для семенной очистки зерна / Ю.И. Ермольев, М.В.Шелков, М.Н.Московский // Изв. вузов Сев.-Кав. регион. Сер. Техн. науки.– Ростов н/Д, 2005. – С.112-119.
2. Ермольев Ю.И. Интенсификация технологических операций в воздушно-решетных зерноочистительных машинах / Ю.И.Ермольев. – Ростов н/Д: Издательский центр ДГТУ, 1998.

Материал поступил в редакцию 21.07.08.

**U.I. ERMOLYEV, A.I. MARTINENKO, A.V. BUTOVCHENKO**

## **THE MODELING OF THE GRAIN SEPARATING PROCESS IN AN AERIAL – LATTICED GRAIN CLEANING MACHINE**

The adequate mathematical model of the process of the functioning of aerial – latticed grain cleaning machine with multilayer lattice – like moduli has been constructed.

**ЕРМОЛЬЕВ Юрий Иванович** (р.1943), доктор технических наук, профессор, заведующий кафедрой «Сельскохозяйственные машины и оборудование» ДГТУ. Окончил РИСХМ в 1969 году.

Научные интересы: решение проблемы системной сепарации сыпучих гетерогенных сред сельскохозяйственного назначения, направленной на создание новых современных технологий и технических средств для поточной сепарации зерновых и других сельхозматериалов.

Автор более 200 научных публикаций, в том числе трех монографий.

**МАРТЫНЕНКО Александр Иванович** (р.1963), инженер. Окончил РИСХМ в 1985 г. Специалист в области сельскохозяйственных машин.

Имеет две научные публикации.

**БУТОВЧЕНКО Андрей Владимирович** (р.1982), ассистент кафедры «Сельскохозяйственные машины и оборудование» ДГТУ. Окончил ДГТУ в 2004 г. Специалист в области сельскохозяйственных машин.

Имеет 13 научных публикаций.